

Новый нелинейный интенсивностный эффект Керра в полярной геометрии

© В.И. Белотелов^{*,**}, А.П. Пятаков^{*,**}, С.А. Еремин^{***}, Г.Г. Мусаев^{***}, А.К. Звездин^{*,**}

* Институт общей физики Российской академии наук,
117942 Москва, Россия

** Московский государственный университет им. М.В. Ломоносова,
119899 Москва, Россия

*** Дагестанский государственный университет,
367025 Махачкала, Россия

(Поступила в Редакцию 4 февраля 2000 г.
В окончательной редакции 9 марта 2000 г.)

Рассмотрена задача об отражении электромагнитной волны на второй оптической гармонике от полубесконечной оптически изотропной магнитной среды для направления однородной намагниченности, соответствующего полярному эффекту Керра. В первом приближении по намагниченности с помощью метода тензорных функций Грина получены выражения для комплексных амплитуд поля волны в случаях падения на среду s - и p -поляризованных волн, а также их суперпозиции. Показано, что в последнем случае нелинейный полярный эффект Керра является интенсивностным. Приведены полученные в результате численного эксперимента зависимости интенсивностного эффекта от угла падения индуцирующей волны и от угла, характеризующего ее поляризацию. Приведен сравнительный анализ линейного и нелинейного интенсивностных эффектов Керра.

Работа поддержана РФФИ (проект № 99.02-17830), МН (проект № 97-1071), INTAS (проект № 97-705).

Недавно были предсказаны, а вскоре после этого и обнаружены новые магнитооптические (МО) эффекты, связанные с поверхностью магнитных сред, — нелинейные эффекты Керра на второй гармонике [1–5]. Хотя генерация второй гармоники запрещена в материалах с центром инверсии, а таковыми является большинство из широко распространенных материалов (Fe, Co, Ni, FeNi и т.д.), на поверхности или интерфейсе симметрия относительно пространственной инверсии нарушается. Нарушение этих симметрий и приводит к возникновению МО явлений на второй гармонике, которые, как выяснилось, значительно превышают по величине соответствующие линейные эффекты [4,5]. Нелинейные МО эффекты являются новым, перспективным инструментом для исследования с высоким пространственным и временным разрешением магнитных поверхностей и интерфейсов в магнитных пленках и многослойных структурах. Большое значение угла поворота плоскости поляризации волны на второй гармонике (относительно поляризации индуцирующей волны) обеспечивает высокий контраст между областями с противоположными направлениями намагниченности [6–10]. Например, для многослойной структуры Co/Cu (100) он может превосходить 50%.

Наряду с поворотом плоскости поляризации в некоторых геометриях падения волны возможно изменение интенсивности отраженной волны в зависимости от намагниченности образца. Такие эффекты получили название интенсивностных эффектов. Интенсивностными являются линейный и нелинейный экваториальные эффекты Керра. В [11] говорится о существовании линейного интенсивностного полярного эффекта в случае падения на среду волны, плоскость поляризации которой составляет с плоскостью падения некоторый отличный от 0 и 90° угол.

Можно предположить, что наряду с этим линейным эффектом должен иметь место аналогичный нелинейный эффект, который сравним или даже превосходит линейный эффект. Основной задачей данной работы является теоретическое исследование возможности существования такого нелинейного интенсивностного эффекта.

В [10] уже изучалась конфигурация, соответствующая полярному эффекту Керра. Рассматривалось падение s - или p -поляризованной волны на полубесконечную магнитную среду. Из уравнения Максвелла были найдены нормальные моды поля с частотой 2ω в магнитной и в прозрачной средах, с помощью граничных условий было получено поле второй гармоники отраженной волны.

В настоящей работе также исследуется геометрия полярного эффекта. Однако рассматриваются не только s - и p -поляризации индуцирующей волны, но и более общий случай падения на магнитную среду плоскополяризованной волны, являющейся суперпозицией s - и p -поляризованных волн.

Решение задачи о нахождении поля отраженной волны для всех трех случаев проводится с помощью метода тензорных электродинамических функций Грина [12–14], который излагается далее. Такой подход оказывается очень удобным и весьма перспективным для решения задач, связанных с отражением волны от магнитных сред с различным распределением намагниченности. Одним из достоинств метода является то, что в функциях Грина уже учтены максвелловские граничные условия.

В работе показано, что в том случае, когда плоскость поляризации падающей волны составляет отличный от 0 и 90° угол с плоскостью падения, нелинейный полярный эффект Керра является интенсивностным, т.е. возникает контраст между областями среды с противоположными направлениями намагниченности. Для

s- и *p*-поляризованных волн интенсивностный эффект обращается в 0. Углы вращения поляризации и эллиптичности отраженных волн совпадают с приведенными в [10]. Приведены аналитические формулы, описывающие эффект, и результаты численных экспериментов, характеризующие интенсивностный эффект в сравнении с соответствующим линейным эффектом.

1. Уравнение для поля на частоте 2ω

Пусть на поверхность ферромагнитной среды, заполняющей все полупространство $z < 0$, падает под некоторым углом φ световая волна $\mathbf{E}^{(i)}(\mathbf{r}, t) = \mathbf{E}^{(i)} \times \exp(-i(\mathbf{k}\mathbf{r} - \omega t))$ с волновым вектором $\mathbf{k} = (k_x, 0, k_z)$ (рис. 1). Под действием поля этой волны среда приобретает поляризацию \mathbf{P} , которая складывается из линейной по электрическому полю поляризации и поверхностной поляризации, квадратичной по полю. Поверхностная поляризация изменяется в зависимости от времени с частотой 2ω и является источником плоских волн с частотой 2ω , затухающих в полубесконечной магнитной среде. Поэтому поляризация среды приобретает еще одно слагаемое, зависящее линейно от поля с частотой 2ω .

Таким образом,

$$\mathbf{P} = \mathbf{P}_\omega(\mathbf{r}) \exp(i\omega t) + \mathbf{P}_{2\omega}(\mathbf{r}) \exp(i2\omega t) + \tilde{\mathbf{P}}^{\text{surf}}(\mathbf{r}) \exp(i2\omega t)\delta(z), \tag{1a}$$

$$\mathbf{P} = \varepsilon_0 \chi_\omega \mathbf{E}(\mathbf{r}) \exp(i\omega t) + \varepsilon_0 \chi_{2\omega} \mathbf{E}(\mathbf{r}) \exp(i2\omega t) + \tilde{\mathbf{P}}^{\text{surf}}(\mathbf{r}) \exp(i2\omega t)\delta(z). \tag{1b}$$

Материальное уравнение $\mathbf{D} = \varepsilon_0 \mathbf{E}_{\text{tot}} + \mathbf{P}$ приобретает вид

$$\mathbf{D} = \varepsilon_0 \bar{\varepsilon}(\mathbf{r}) \mathbf{E}(\mathbf{r}) \exp(i\omega t) + \varepsilon_0 \tilde{\varepsilon}(\mathbf{r}) \tilde{\mathbf{E}}(\mathbf{r}) \exp(i2\omega t) + \tilde{\mathbf{P}}^{\text{surf}}(\mathbf{r}) \exp(i2\omega t)\delta(z), \tag{2}$$

где $\bar{\varepsilon}$ и $\tilde{\varepsilon}$ — тензоры диэлектрической проницаемости магнитной среды на частотах ω и 2ω соответственно [10,15].

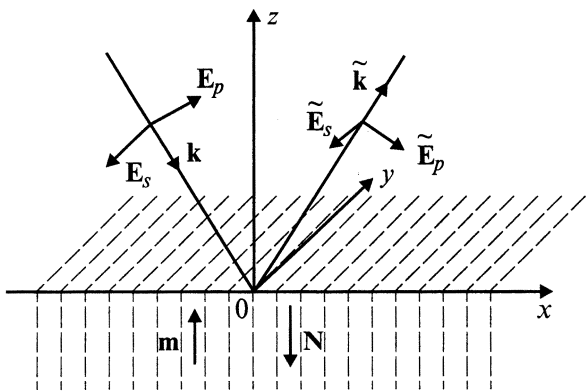


Рис. 1. К постановке задачи о падении световой волны на полубесконечную ферромагнитную среду.

$$\bar{\varepsilon} = n^2 \begin{pmatrix} 1 & -im_3Q & im_2Q \\ im_3Q & 1 & -im_1Q \\ -im_2Q & im_1Q & 1 \end{pmatrix} \text{ при } z < 0; \tag{3}$$

$$\bar{\varepsilon} = \begin{pmatrix} 1 & 0 & 0 \\ 0 & 1 & 0 \\ 0 & 0 & 1 \end{pmatrix}, \quad z > 0,$$

$$\tilde{\varepsilon} = \tilde{n}^2 \begin{pmatrix} 1 & -im_3\tilde{Q} & im_2\tilde{Q} \\ im_3\tilde{Q} & 1 & -im_1\tilde{Q} \\ -im_2\tilde{Q} & im_1\tilde{Q} & 1 \end{pmatrix} \text{ при } z < 0; \tag{4}$$

$$\tilde{\varepsilon} = \begin{pmatrix} 1 & 0 & 0 \\ 0 & 1 & 0 \\ 0 & 0 & 1 \end{pmatrix}, \quad z > 0,$$

где n и \tilde{n} — комплексные коэффициенты преломления ($\text{Im } n > 0$) для частот ω и 2ω соответственно, Q, \tilde{Q} — магнитооптические параметры, линейно зависящие от намагниченности \mathbf{M} , для частот ω и 2ω соответственно, m_1, m_2, m_3 — координаты вектора $\mathbf{m} = \mathbf{M}/M$, характеризующего направление намагниченности.

Уравнение Максвелла ($\mu = 1$)

$$\text{rot rot } \mathbf{E}_{\text{tot}} = -\frac{1}{c^2} \frac{\partial^2 \mathbf{D}}{\partial t^2} \tag{5}$$

при учете (2) разбивается на две части, первая из которых зависит от времени с частотой ω , а вторая — с частотой 2ω

$$\text{rot rot } \mathbf{E}(\mathbf{r}) - \varepsilon_0 \frac{\omega^2}{c^2} \bar{\varepsilon} \mathbf{E}(\mathbf{r}) = 0, \tag{6a}$$

$$\text{rot rot } \tilde{\mathbf{E}}(\mathbf{r}) - \varepsilon_0 \frac{4\omega^2}{c^2} \tilde{\varepsilon} \tilde{\mathbf{E}}(\mathbf{r}) = \frac{4\omega^2}{c^2} \tilde{\mathbf{P}}^{\text{surf}}(\mathbf{r})\delta(z). \tag{6b}$$

Из уравнения (6b), как будет показано далее, может быть найдено поле второй гармоники отраженной волны.

2. Нелинейная поляризация и намагниченность среды

Поверхностная нелинейная оптическая поляризация второго порядка может быть записана в виде [1,16]

$$\tilde{\mathbf{P}}_i^{\text{surf}} = \chi_{i,j,k}^{(2)}(\mathbf{M}) E_j E_k, \tag{7}$$

где тензор поверхностной нелинейной восприимчивости $\chi^{(2)}$ зависит линейно от намагниченности \mathbf{M} , E_j — составляющая электрического поля световой волны в среде. Из симметричных соображений следует, что поляризация $\tilde{\mathbf{P}}^{\text{surf}}$ может быть представлена в виде [10,15,17]

$$\tilde{\mathbf{P}}^{\text{surf}} = \tilde{\mathbf{P}}_0 + \tilde{\mathbf{P}}_m, \tag{8}$$

где

$$\tilde{\mathbf{P}}_0 = \chi_1 \mathbf{E}(\mathbf{E}\mathbf{N}) + \chi_2 \mathbf{E}^2 \mathbf{N}, \tag{8a}$$

а линейно зависящий от намагниченности вклад есть

$$\begin{aligned} \tilde{\mathbf{P}}_m = & \chi_3 \mathbf{E}(\mathbf{E}(\mathbf{mN})) + \chi_4 \mathbf{E}^2[\mathbf{mN}] \\ & + \chi_5[\mathbf{Em}](\mathbf{EN}) + \chi_6[\mathbf{EN}][\mathbf{Em}]. \end{aligned} \quad (8b)$$

Здесь χ_1, χ_2 — нелинейные оптические и $\chi_3, \chi_4, \chi_5, \chi_6$ — нелинейные магнитооптические параметры, $\mathbf{m} = \mathbf{M}/M$ — вектор, характеризующий направление намагниченности, \mathbf{N} — нормаль к поверхности.

3. Комплексные амплитуды поля волны на частоте ω

В правую часть уравнения (6b) входит нелинейная поверхностная поляризация, которая зависит от электрического поля \mathbf{E} на частоте ω в магнитном веществе. Поэтому, для того чтобы решить уравнение (6b), необходимо из уравнения (6a) найти поле $\mathbf{E}(\mathbf{r})$ при $z < 0$.

В работе [15] это уравнение было решено, и мы приведем здесь полученные результаты для интересующей нас полярной конфигурации с $\mathbf{m} = (0, 0, \pm 1)$, когда намагниченность ортогональна поверхности среды и лежит в плоскости падения света.

Комплексная амплитуда электрического поля в магнитной среде может быть представлена в виде суммы двух слагаемых: $\mathbf{E} = \mathbf{E}^0 + \mathbf{E}^a$, где \mathbf{E}^0 — часть поля, не зависящая от магнитных анизотропных свойств среды на частоте ω , а \mathbf{E}^a — часть поля, учитывающая существование анизотропии.

Составляющие электрического поля в веществе

$$\begin{aligned} \mathbf{E}_1 &= \mathbf{E}_1^0 + \mathbf{E}_1^a, \\ \mathbf{E}_1^0 &= \frac{2\beta \cos \varphi}{Y} \mathbf{E}_p^{(i)}, \quad \mathbf{E}_1^a = \pm \frac{iQn^2 \cos^2 \varphi}{XY} \mathbf{E}_s^{(i)}, \\ \mathbf{E}_2 &= \mathbf{E}_2^0 + \mathbf{E}_2^a, \\ \mathbf{E}_2^0 &= \frac{2 \cos \varphi}{X} \mathbf{E}_s^{(i)}, \quad \mathbf{E}_2^a = \mp \frac{iQn^2 \cos \varphi}{XY} \mathbf{E}_p^{(i)}, \\ \mathbf{E}_3 &= \mathbf{E}_3^0 + \mathbf{E}_3^a, \\ \mathbf{E}_3^0 &= \frac{2\alpha \cos \varphi}{Y} \mathbf{E}_p^{(i)}, \quad \mathbf{E}_3^a = \mp \frac{iQ\alpha \cos \varphi}{XY} \mathbf{E}_s^{(i)}, \end{aligned} \quad (9)$$

где $\alpha = \sin \varphi$, $X = \beta + \cos \varphi$, $Y = \beta + n^2 \cos \varphi$, $\beta = \sqrt{n^2 - \alpha^2}$; n — показатель преломления среды на частоте ω ; $\mathbf{E}_s^{(i)}$ и $\mathbf{E}_p^{(i)}$ — комплексные амплитуды s - и p -составляющих поляризации падающей волны.

4. Решение уравнения для поля с частотой 2ω

Перепишем уравнение (6b) через компоненты

$$\begin{aligned} \left(\frac{\partial^2}{\partial x_\mu \partial x_\nu} - \delta_{\mu\nu} \frac{\partial^2}{\partial x_\nu^2} - \varepsilon_0 \tilde{\varepsilon}_{\mu\nu}(\mathbf{r}) \frac{4\omega^2}{c^2} \right) \tilde{E}_\nu(\mathbf{r}) \\ = \frac{4\omega^2}{c^2} \tilde{P}_\mu^{\text{surf}}(\mathbf{r}) \delta(z). \end{aligned} \quad (10)$$

Тензор диэлектрической проницаемости при $z < 0$ может быть представлен в виде

$$\tilde{\varepsilon}_{\mu\nu}(\mathbf{r}) = \tilde{\varepsilon} \delta_{\mu\nu} + \Delta \tilde{\varepsilon}_{\mu\nu}, \quad \text{где } \Delta \tilde{\varepsilon}_{\mu\nu} = -i\tilde{n}^2 \tilde{Q} e_{\mu\nu\kappa} m_\kappa, \quad (11)$$

где $e_{\mu\nu\kappa}$ — антисимметричный тензор Леви-Чевита ($\tilde{\varepsilon}_{\mu\nu}(\mathbf{r}) = \delta_{\mu\nu}$ при $z > 0$).

Введем операторы

$$L_{\mu\nu}^0 = \frac{\partial^2}{\partial x_\mu \partial x_\nu} - \delta_{\mu\nu} \frac{\partial^2}{\partial x_\nu^2} - \varepsilon_0 \tilde{\varepsilon} \frac{4\omega^2}{c^2} \delta_{\mu\nu}, \quad (12a)$$

$$L_{\mu\nu}^1 = \varepsilon_0 \frac{4\omega^2}{c^2} \Delta \tilde{\varepsilon}_{\mu\nu}. \quad (12b)$$

Тогда уравнение (10) может быть записано следующим образом:

$$(L_{\mu\nu}^0 - L_{\mu\nu}^1) \tilde{E}_\nu(\mathbf{r}) = \frac{4\omega^2}{c^2} \tilde{P}_\mu^{\text{surf}}(\mathbf{r}) \delta(z). \quad (13)$$

Ограничиваясь линейным по намагниченности приближением, представим вектор $\tilde{\mathbf{P}}_0$ (см. (8a)) в виде суммы двух слагаемых: $\tilde{\mathbf{P}}_0(\mathbf{r}) = \tilde{\mathbf{P}}_0^0(\mathbf{r}) + \tilde{\mathbf{P}}^a(\mathbf{r})$, где

$$\tilde{\mathbf{P}}_0^0(\mathbf{r}) = \chi_1 \mathbf{E}^0(\mathbf{r})(\mathbf{E}^0(\mathbf{r})\mathbf{N}) + \chi_2 (\mathbf{E}^0(\mathbf{r})\mathbf{E}^0(\mathbf{r}))\mathbf{N} \quad (14a)$$

составляющая поляризации $\tilde{\mathbf{P}}_0(\mathbf{r})$, не зависящая от магнитооптических (анизотропных) свойств среды на частоте ω ,

$$\begin{aligned} \tilde{\mathbf{P}}^a(\mathbf{r}) &= \chi_1 \mathbf{E}^0(\mathbf{r})(\mathbf{E}^a(\mathbf{r})\mathbf{N}) + \chi_1 \mathbf{E}^a(\mathbf{r})(\mathbf{E}^0(\mathbf{r})\mathbf{N}) \\ &+ 2\chi_2 (\mathbf{E}^0(\mathbf{r})\mathbf{E}^a(\mathbf{r}))\mathbf{N} \quad (14b) \end{aligned}$$

составляющая поляризации $\tilde{\mathbf{P}}_0(\mathbf{r})$, зависящая от магнитооптических (анизотропных) свойств среды на частоте ω . $\mathbf{E}^0(\mathbf{r})$ и $\mathbf{E}^a(\mathbf{r})$ — слагаемые электрического поля на частоте ω в среде, комплексные амплитуды которых были введены формулой (9).

В этом приближении в выражение для поляризации $\tilde{\mathbf{P}}_m$ (см. (8b)) входит только поле \mathbf{E}^0 .

Поле, являющееся решением уравнения (13), можно представить в виде суммы трех слагаемых

$$\tilde{\mathbf{E}}(\mathbf{r}) = \tilde{\mathbf{E}}^{00}(\mathbf{r}) + \tilde{\mathbf{E}}^0(\mathbf{r}) + \tilde{\mathbf{E}}^1(\mathbf{r}), \quad (15)$$

где поле $\tilde{\mathbf{E}}^{00}(\mathbf{r})$ удовлетворяет уравнению

$$L_{\mu\nu}^0 \tilde{E}_\nu^{00}(\mathbf{r}) = \frac{4\omega^2}{c^2} \tilde{P}_\mu^{00}(\mathbf{r}) \delta(z), \quad (16)$$

а поле $\tilde{\mathbf{E}}^0(\mathbf{r})$ — уравнению

$$L_{\mu\nu}^0 \tilde{E}_\nu^0(\mathbf{r}) = \frac{4\omega^2}{c^2} \tilde{P}_\mu^a(\mathbf{r}) \delta(z), \quad (17)$$

$\tilde{\mathbf{E}}^1(\mathbf{r})$ — поправка к полю, учитывающая анизотропные магнитные свойства вещества на частоте 2ω .

Рассматривая первое приближение, учитывающее лишь линейные по намагниченности слагаемые, уравнение (13) можно переписать в виде

$$L_{\mu\nu}^0 \tilde{E}_\nu^1(\mathbf{r}) = \frac{4\omega^2}{c^2} \tilde{P}_\mu^m(\mathbf{r}) \delta(z) + L_{\mu\nu}^1 \tilde{E}_\nu^0(\mathbf{r}). \quad (18)$$

Решение задачи о нахождении второй гармоники отраженной волны сводится к решению дифференциальных уравнений в частных производных (16)–(18).

Эти уравнения могут быть решены с использованием тензорных электродинамических функций Грина $D_{\mu\nu}(\mathbf{r}, \mathbf{r}', 2\omega)$ [12–14].

Введем функции Грина уравнением

$$\left(\frac{\partial^2}{\partial x_\lambda \partial x_\mu} - \delta_{\lambda\mu} \frac{\partial^2}{\partial x_\mu^2} - \varepsilon_0 \tilde{\varepsilon}(\mathbf{r}) \frac{4\omega^2}{c^2} \delta_{\lambda\mu} \right) \times D_{\mu\nu}(\mathbf{r}, \mathbf{r}', 2\omega) = -\delta_{\lambda\nu} \delta(\mathbf{r} - \mathbf{r}'). \quad (19)$$

Граничные условия, которые используются при решении этого уравнения, вытекают из требования непрерывности тангенциальных компонент \mathbf{E} и \mathbf{H} и нормальных компонент \mathbf{D} и \mathbf{H} при переходе через плоскость $z = 0$. Поэтому полученные с помощью функции Грина поля заведомо будут удовлетворять максвелловским граничным условиям.

С помощью функций Грина $D_{\mu\nu}(\mathbf{r}, \mathbf{r}', 2\omega)$ решения уравнений (16)–(18) запишутся в виде

$$\tilde{E}_\mu^{00}(\mathbf{r}) = -\frac{4\omega^2}{c^2} \int dr' D_{\mu\nu}(\mathbf{r}, \mathbf{r}', 2\omega) \tilde{P}_\nu^{00}(\mathbf{r}') \delta(z'), \quad (20a)$$

$$\tilde{E}_\mu^0(\mathbf{r}) = -\frac{4\omega^2}{c^2} \int dr' D_{\mu\nu}(\mathbf{r}, \mathbf{r}', 2\omega) \tilde{P}_\nu^a(\mathbf{r}') \delta(z'), \quad (20b)$$

$$\tilde{E}_\mu^1(\mathbf{r}) = -\frac{4\omega^2}{c^2} \left(\int dr' D_{\mu\nu}(\mathbf{r}, \mathbf{r}', 2\omega) \tilde{P}_\nu^m(\mathbf{r}') \delta(z') + \int_{z < 0} dr' D_{\mu\nu}(\mathbf{r}, \mathbf{r}', 2\omega) \varepsilon_0 \Delta \tilde{\varepsilon}_{\nu\kappa} \tilde{E}_\kappa^{00}(\mathbf{r}') \right). \quad (20c)$$

Для вычисления интегралов в уравнениях (20) перейдем к Фурье-образам функций Грина

$$D_{\mu\nu}(\mathbf{r}, \mathbf{r}', 2\omega) = \int \frac{4d^2\mathbf{k}_\parallel}{(2\pi)^2} \exp(2i\mathbf{k}_\parallel(\mathbf{r}_\parallel - \mathbf{r}'_\parallel)) \times d_{\mu\nu}(2\mathbf{k}_\parallel, 2\omega, z, z'), \quad (21)$$

$$d_{\mu\nu}(2\mathbf{k}_\parallel, 2\omega, z, z') = \int d(\mathbf{r} - \mathbf{r}'_\parallel) \exp(-2i\mathbf{k}_\parallel(\mathbf{r}_\parallel - \mathbf{r}'_\parallel)) \times D_{\mu\nu}(\mathbf{r}, \mathbf{r}', 2\omega), \quad (22)$$

где $\mathbf{k}_\parallel = (k_x, 0, 0) = \mathbf{k}(\alpha, 0, 0)$, $\alpha = \sin \varphi$, $\mathbf{r}_\parallel = (x, y, 0)$.

Представим поля, входящие в выражение для $\tilde{\mathbf{P}}^{\text{surf}}(\mathbf{r})$, в виде

$$\begin{aligned} E_\nu^0(\mathbf{r}) &= \exp(i\mathbf{k}_\parallel \mathbf{r}_\parallel) E_\nu^0(z), \\ E_\nu^a(\mathbf{r}) &= \exp(i\mathbf{k}_\parallel \mathbf{r}_\parallel) E_\nu^a(z). \end{aligned} \quad (23)$$

Подставляя (23) в (16)–(18) и учитывая (22), получаем

$$\tilde{E}_\mu^{00}(\mathbf{r}) = -\frac{4\omega^2}{c^2} \exp(2i\mathbf{k}_\parallel \mathbf{r}_\parallel) d_{\mu\nu}(2\mathbf{k}_\parallel, 2\omega, z, 0-) \tilde{P}_\nu^{00}(0-), \quad (24a)$$

$$\tilde{E}_\mu^0(\mathbf{r}) = -\frac{4\omega^2}{c^2} \exp(2i\mathbf{k}_\parallel \mathbf{r}_\parallel) d_{\mu\nu}(2\mathbf{k}_\parallel, 2\omega, z, 0-) \tilde{P}_\nu^a(0-), \quad (24b)$$

$$\begin{aligned} \tilde{E}_\mu^1(\mathbf{r}) &= -\frac{4\omega^2}{c^2} \exp(2i\mathbf{k}_\parallel \mathbf{r}_\parallel) \left(d_{\mu\nu}(2\mathbf{k}_\parallel, 2\omega, z, 0-) \tilde{P}_\nu^m(0-) \right. \\ &\quad \left. + \varepsilon_0 \int_{-\infty}^0 dz' d_{\mu\nu}(2\mathbf{k}_\parallel, 2\omega, z, z') \Delta \tilde{\varepsilon}_{\nu\kappa} \tilde{E}_\kappa^{00}(z') \right), \end{aligned} \quad (24c)$$

где $d_{\mu\nu}(2\mathbf{k}_\parallel, 2\omega, z, 0-) = \lim_{z' \rightarrow 0-} d_{\mu\nu}(2\mathbf{k}_\parallel, 2\omega, z, z')$, $\tilde{\mathbf{P}}(0-) = \lim_{z' \rightarrow 0} \tilde{P}(z')$, $\tilde{\mathbf{P}}(z) \exp(2i\mathbf{k}_\parallel \mathbf{r}_\parallel) = \tilde{\mathbf{P}}(\mathbf{r})$. Интегрирование по z' в (20a), (20b) и в первом слагаемом (20c) произведено с учетом того, что поляризация среды $\tilde{\mathbf{P}}^{\text{surf}}$ является поверхностной и отлична от нуля лишь в тонком приповерхностном слое.

Таким образом, используя выражения для Фурье-образов функций Грина и производя интегрирование в (24c), которое сводится к нахождению первообразной для экспоненты, можно в явном виде получить выражение для поля отраженной волны.

5. Фурье-образы функций Грина

Фурье-образы функций Грина, необходимые для вычисления поля отраженной волны, приведены далее [12] (заметим, что не все они являются непрерывными функциями z , некоторые из них терпят разрыв при $z = 0$).

1) Фурье-образы функции Грина при $z > 0$, $z' < 0$

$$\begin{aligned} d_{11} &= -\eta \frac{\cos \varphi \tilde{\beta}}{\tilde{Y}} \exp(2ik_z z) \exp(-2ik\tilde{\beta}z'), \\ d_{12} &= 0, \\ d_{13} &= \eta \alpha \frac{\cos \varphi}{\tilde{Y}} \exp(2ik_z z) \exp(-2ik\tilde{\beta}z'), \\ d_{21} &= 0, \\ d_{22} &= -\frac{\eta}{\tilde{X}} \exp(2ik_z z) \exp(-2ik\tilde{\beta}z'), \\ d_{23} &= 0, \\ d_{31} &= \eta \frac{\tilde{\beta} \alpha}{\tilde{Y}} \exp(2ik_z z) \exp(-2ik\tilde{\beta}z'), \\ d_{32} &= 0, \\ d_{33} &= -\frac{\eta \alpha^2}{\tilde{Y}} \exp(2ik_z z) \exp(-2ik\tilde{\beta}z'). \end{aligned} \quad (25)$$

2) Фурье-образы функции Грина при $z < 0$, $z' = (0-)$ (для вычисления поля \mathbf{E}^{00} в среде)

$$\begin{aligned} d_{11} &= -\eta \frac{\cos \varphi \tilde{\beta}}{\tilde{Y}} \exp(-2ik\tilde{\beta}z), \\ d_{12} &= 0, \\ d_{13} &= -\eta \alpha \frac{\tilde{\beta}}{\tilde{Y} \tilde{n}^2} \exp(-2ik\tilde{\beta}z), \end{aligned}$$

$$\begin{aligned}
d_{21} &= 0, \\
d_{22} &= -\frac{\eta}{\tilde{X}} \exp(-2ik\tilde{\beta}z) \\
d_{23} &= 0, \\
d_{31} &= \frac{-\eta\alpha \cos \varphi}{\tilde{Y}} \exp(-2ik\tilde{\beta}z), \\
d_{32} &= 0, \\
d_{33} &= \frac{-\eta\alpha^2}{\tilde{Y}\tilde{n}^2} \exp(-2ik\tilde{\beta}z) + \frac{\eta}{2ik\tilde{n}^2} \delta(z). \quad (26)
\end{aligned}$$

В формулах (25), (26) $\alpha = \sin \varphi$, $k = \frac{\omega}{c}$, $\tilde{\beta} = \sqrt{\tilde{n}^2 - \alpha^2}$, $\tilde{X} = \tilde{\beta} + \cos \varphi$, $\tilde{Y} = \tilde{\beta} + \tilde{n}^2 \cos \varphi$, $\eta = \frac{i}{2k\varepsilon_0}$, $k_z = k \cos \varphi$, \tilde{n} — показатель преломления среды на частоте 2ω .

6. Комплексные амплитуды поля отраженной волны на частоте 2ω

В случае $\mathbf{m} = (0, 0, +1)$, который соответствует конфигурации полярного эффекта Керра, составляющие \tilde{P}^{surf} равны (8), (14)

$$\begin{aligned}
\tilde{P}_1 &= -\chi_1(E_1E_3^0 + E_1^0E_3^a) \mp (\chi_5 + \chi_6)E_2^0E_3^0, \\
\tilde{P}_2 &= -\chi_1(E_2E_3^0 + E_2^0E_3^a) \pm (\chi_5 + \chi_6)E_1^0E_3^0, \\
\tilde{P}_3 &= -\chi_2\left((E_1^0)^2 + 2E_1^0E_1^a\right) - \chi_2\left((E_2^0)^2 + 2E_2^0E_2^a\right) \\
&\quad - (\chi_1 + \chi_2)\left((E_3^0)^2 + 2E_3^0E_3^a\right), \quad (27)
\end{aligned}$$

где комплексные амплитуды E_1, E_2, E_3 известны из (9).

Таким образом, с помощью (9), (24)–(27) составляющие поля отраженной волны на частоте 2ω определяются через s - и p -составляющие поля падающей волны (E_p^i и E_s^i) и магнитооптические параметры магнитной среды.

Для удобства последующего анализа полученных результатов в выражениях для полей отраженных волн будем выделять слагаемые, не зависящие от намагниченности среды, — $C = \tilde{E}^{00}$ и слагаемые, линейно зависящие от намагниченности среды, — $D = \tilde{E}^0 + \tilde{E}^1$.

Комплексная амплитуда поля отраженной волны на частоте 2ω складывается из компонент \tilde{E}_s и \tilde{E}_p с s - и p -поляризацией соответственно.

Если падающая волна s -поляризована, то

$$\begin{aligned}
\tilde{E}_s^\pm &= C_s^\pm + D_s^\pm, \\
C_s^\pm &= 0, \\
D_s^\pm &= \mp \frac{\alpha k}{\varepsilon_0 \tilde{X}} \left(\frac{2 \cos \varphi}{X} E_s^{(i)} \right)^2 \left(\chi_1 \frac{Q}{Y} + \chi_2 \frac{\tilde{Q}}{\tilde{Y}} \right), \\
\tilde{E}_p^\pm &= C_p^\pm + D_p^\pm, \\
C_p^\pm &= \frac{2i\alpha k}{\varepsilon_0 \tilde{Y}} \left(\frac{2 \cos \varphi}{X} E_s^{(i)} \right)^2 \chi_2, \\
D_p^\pm &= 0. \quad (28)
\end{aligned}$$

Если падающая волна p -поляризована, то

$$\begin{aligned}
C_s^\pm &= 0, \\
D_s^\pm &= \mp \frac{\alpha k}{\varepsilon_0 \tilde{X}} \left(\frac{2 \cos \varphi}{Y} E_p^{(i)} \right)^2 \left[\chi_1 \left(\frac{n^2 Q}{X} \right. \right. \\
&\quad \left. \left. + \frac{\tilde{Q}}{\tilde{Y}} (\beta \tilde{n}^2 \cos \varphi + \alpha^2) \right) + \chi_2 \frac{n^2 \tilde{Q}}{\tilde{Y}} - 2i(\chi_5 + \chi_6)\beta \right], \\
C_p^\pm &= -\frac{2i\alpha k}{\varepsilon_0 \tilde{Y}} \left(\frac{2 \cos \varphi}{Y} E_p^{(i)} \right)^2 \left[\chi_1 (\beta \tilde{\beta} - \alpha^2) - \chi_2 n^2 \right], \\
D_p^\pm &= 0. \quad (29)
\end{aligned}$$

Пусть теперь на магнитную среду падает волна с плоскостью поляризации, которая составляет с плоскостью падения некоторый угол ψ . Тогда $E_p^{(i)} = E^i \cos \psi$, $E_s^{(i)} = E^i \sin \psi$.

В такой конфигурации получаются следующие выражения для комплексных амплитуд компонент поля отраженной волны:

$$\begin{aligned}
C_p^\pm &= -\frac{2ki\alpha(2 \cos \varphi)^2}{\varepsilon_0 \tilde{Y}} \left[\frac{\chi_1}{Y^2} (E_p^{(i)})^2 \{\beta \tilde{\beta} - \alpha^2\} \right. \\
&\quad \left. - \chi_2 \left\{ \frac{n^2}{Y^2} (E_p^{(i)})^2 + \frac{(E_s^{(i)})^2}{X^2} \right\} \right], \\
D_p^\pm &= \mp \frac{2k\alpha(2 \cos \varphi)^2}{\varepsilon_0 \tilde{Y}} \left[\frac{\chi_1 Q}{2Y^2 X} (\beta \tilde{\beta} - n^2 \tilde{\beta} \cos \varphi - 2\alpha^2) \right. \\
&\quad \left. - \chi_1 \frac{\tilde{Q} \tilde{n}^2}{2X \tilde{X} \tilde{Y}} + \chi_2 Q \left\{ \frac{n^2 \beta \cos \varphi}{Y^2 X} - \frac{\alpha^2}{Y^2 X} - \frac{n^2}{X^2 Y} \right\} \right. \\
&\quad \left. + i(\chi_5 + \chi_6) \frac{\tilde{\beta}}{X Y} \right] E_p^{(i)} E_s^{(i)}, \\
C_s^\pm &= -\frac{2ki\alpha \chi_1 (2 \cos \varphi)^2}{\varepsilon_0 \tilde{X} \tilde{X} \tilde{Y}} E_p^{(i)} E_s^{(i)}, \\
D_s^\pm &= \mp \frac{2k\alpha(2 \cos \varphi)^2}{\varepsilon_0 \tilde{X}} \left[\frac{\chi_1 Q}{2} \left\{ \frac{(E_s^{(i)})^2}{X^2 Y} + \frac{n^2 (E_p^{(i)})^2}{X^2 Y} \right\} \right. \\
&\quad \left. + \frac{\tilde{Q}}{2\tilde{Y}} \left[\chi_1 \left\{ \frac{\tilde{n}^2 \beta \cos \varphi}{Y^2} + \frac{\alpha^2}{Y^2} \right\} (E_p^{(i)})^2 + \chi_2 \left\{ \frac{n^2}{Y^2} (E_p^{(i)})^2 \right. \right. \right. \\
&\quad \left. \left. \left. + \frac{(E_s^{(i)})^2}{X^2} \right\} \right] - \frac{i(\chi_5 + \chi_6)\beta E_p^{(i)}}{Y^2} \right] \quad (30)
\end{aligned}$$

7. Интенсивностный нелинейный эффект Керра

Определим интенсивностный нелинейный эффект Керра как относительное изменение $\delta = (I_+ - I_-)/(I_+ + I_-)$ интенсивности отраженной волны при переходе среды из состояния с однородной намагниченностью $\mathbf{m} = (0, 0, +1) - I_+$ в состояние с однородной намагниченностью $\mathbf{m} = (0, 0, -1) - I_-$.

Выразим величины I_+ и I_- через составляющие отраженной волны C^\pm и D^\pm

$$I_\pm = (\mathbf{E}_s^\pm + \mathbf{E}_p^\pm)(\mathbf{E}_s^\pm + \mathbf{E}_p^\pm)^* = (C_s^\pm + D_s^\pm)(C_s^\pm + D_s^\pm)^* + (C_p^\pm + D_p^\pm)(C_p^\pm + D_p^\pm)^*.$$

Замечая, что $C_{s,p}^+ = C_{s,p}^-$, а $D_{s,p}^+ = -D_{s,p}^-$, получаем

$$I_+ - I_- = 2(C_s^+(D_s^+)^* + (C_s^+)^*D_s^+ + C_p^+(D_p^+)^* + (C_p^+)^*D_p^+),$$

$$I_+ + I_- = 2(|C_s^+|^2 + |D_s^+|^2 + |C_p^+|^2 + |D_p^+|^2).$$

Таким образом,

$$\delta = \frac{C_s^+(D_s^+)^* + (C_s^+)^*D_s^+ + C_p^+(D_p^+)^* + (C_p^+)^*D_p^+}{|C_s^+|^2 + |D_s^+|^2 + |C_p^+|^2 + |D_p^+|^2}, \quad (31)$$

где величины C_s, C_p, D_s, D_p определены формулами (30).

Если на среду падает s - или p -поляризованная волна, то $C_s = D_p = 0$, следовательно, $\delta = 0$ и интенсивностный эффект обращается в 0.

Если же на магнитную среду падает поляризованная волна с углом поворота плоскости поляризации ψ ($\psi \neq 0, \psi \neq \frac{\pi}{2}$), то все составляющие C и D отличны от нуля и δ в общем случае отлично от нуля. При такой геометрии нелинейный полярный эффект Керра является интенсивностным.

Приведем в качестве примера характерные зависимости δ от угла падения φ и от угла поляризации падающего света ψ для нелинейного полярного эффекта Керра при $\tilde{n} = n = 2.36 + 3.48i, Q = \tilde{Q} = -0.034 + 0.003i$ (Q и n соответствуют железу [10]), $\chi_2/\chi_1 = 0.1, \chi_5/\chi_1 = \chi_6/\chi_1 = 0.01i, \text{Im } \chi_1 = 0$ (значение этих отношений близки к приведенным в [18,19]).

На рис. 2 представлены зависимости δ от угла поляризации ψ падающего света при различных углах падения φ . Величина интенсивностного эффекта в

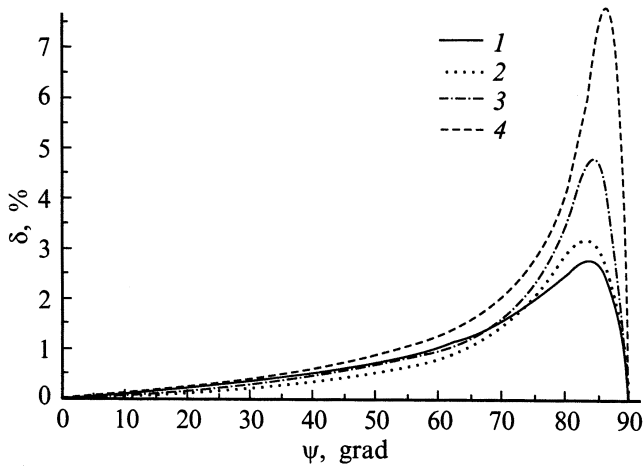


Рис. 2. Зависимости относительного изменения интенсивности δ от угла поляризации ψ при различных углах падения φ ($1 - 0^\circ, 2 - 60^\circ, 3 - 80^\circ, 4 - 90^\circ$).

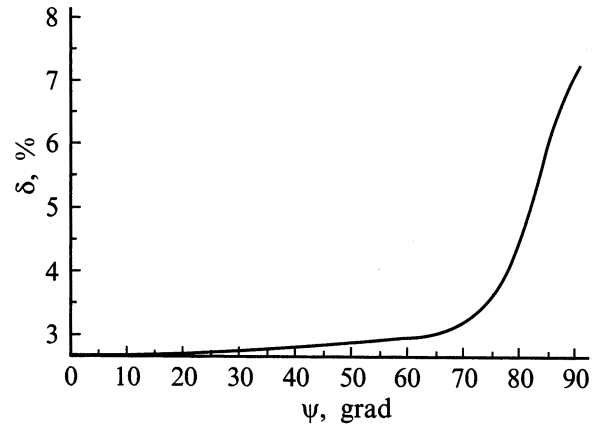


Рис. 3. Зависимость относительного изменения интенсивности δ от угла падения φ при угле поляризации $\psi = 85^\circ$.

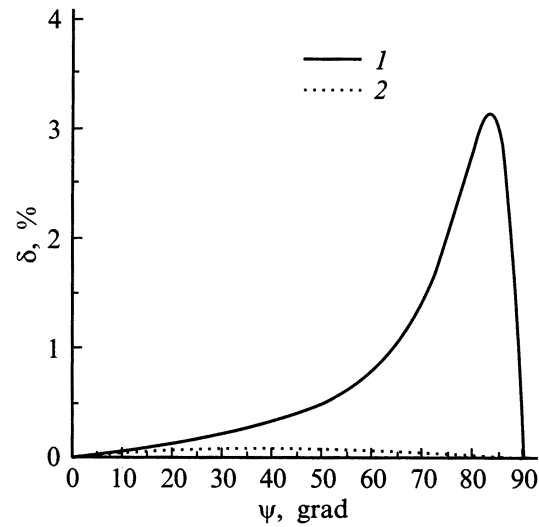


Рис. 4. Зависимости относительного изменения интенсивности δ от угла поляризации ψ при угле падения $\varphi = 60^\circ$. 1 — нелинейный эффект, 2 — линейный эффект.

максимуме кривой ($\psi \approx 85^\circ$) монотонно возрастает при увеличении угла φ , достигая наибольшего значения при скользющем угле падения ($\varphi = 90^\circ$).

Зависимость величины δ от угла φ при оптимальном угле поляризации $\psi = 85^\circ$ показана на рис. 3.

На рис. 4 приведены для сравнения зависимости линейного и нелинейного эффектов от угла поляризации ψ при угле падения $\varphi = 60^\circ$.

Подчеркнем, что интенсивностный нелинейный эффект Керра является T -нечетным, т. е. изменяет знак при обращении времени (а следовательно, при обращении намагниченности и магнитного поля). Это важное свойство позволяет использовать его при изучении доменной структуры, магнитных солитонов и вихрей, доменных границ, линий Блоха и т. д.

К основным результатам данной работы можно отнести предсказание существования нелинейного интенсивностного полярного эффекта Керра и получение аналитических выражений, характеризующих s - и p -составляющие отраженной волны на второй гармонике через оптические и магнитооптические параметры среды для случаев падения s - или p -поляризованной волны или плоскополяризованной суперпозиции s - и p -поляризованных волн на полубесконечную магнитную среду в конфигурации полярного эффекта. Все результаты даны в линейном приближении по параметрам, зависящим от намагниченности.

Для известных значений параметров приведены зависимости интенсивностного эффекта от угла падения и от угла поляризации падающей волны. Приведен сравнительный анализ линейного и нелинейного интенсивностных эффектов.

Показано, что для решения задач, связанных с отражением волны от магнитных сред с различным распределением намагниченности, весьма перспективным является использование метода электродинамических тензорных функций Грина.

Список литературы

- [1] Ru-Pin Pan, H.D. Wei, Y.R. Shen. Phys. Rev. **B39**, 1229 (1989).
- [2] J. Reif, J.C. Zink, C.M. Schneider, J. Kirschner. Phys. Rev. Lett. **67**, 2878 (1991).
- [3] G. Spierings, V. Koutsos, H.A. Wierenga, M.V.J. Prins, D. Abraham, Th. Rasing. Surf. Sci. **287**, 747 (1993).
- [4] U. Pustogowa, W. Hübner, K.H. Bennemann. Phys. Rev. **B49**, 10031 (1994).
- [5] B. Koopmans, M. Groot Koerkamp, Th. Rasing, H. v.d.Berg. Phys. Rev. Lett. **74**, 3692 (1995).
- [6] G. Spierings, V. Koutsos, H.A. Wierenga, M.V. Prins, D. Abraham, T. Rasing. J. Magn. Magn. Mater. **121**, 109 (1993).
- [7] H.A. Wierenga, M.V. Prins, Th. Rasing. Physica **B204**, 281 (1995).
- [8] T.M. Crawford, C.T. Rogers, T.J. Silva, Y.K. Kim. J. Appl. Phys. **81**, 4354 (1997).
- [9] T.M. Crawford, C.T. Rogers, T.J. Silva, Y.K. Kim. IEEE Trans. Magn. **38**, 3598 (1997).
- [10] А.К. Звездин, Н.Ф. Кубраков. ЖЭТФ **116**, 1 (7) 141 (1999).
- [11] Г.С. Кринчик. Физика магнитных явлений. Изд-во МГУ, М. (1985).
- [12] A.A. Maradudin, D.L. Mills. Phys. Rev. **B11**, 4, 1392 (1975).
- [13] В.А. Кособукин. ФТТ **35**, 4, 884 (1993).
- [14] V.A. Kosobukin. J. Magn. Magn. Mater. **153**, 397 (1996).
- [15] A.K. Zvesdin, V.A. Kotov. Modern magneto-optics and magneto-optical materials. IOP Publishing, UK (1997).
- [16] Y.R. Shen. The Principles of Nonlinear Opticals. Wiley, N. Y. (1984).
- [17] A.K. Zvesdin. Physica **A241**, 444 (1997).
- [18] U. Pustogowa, W. Hübner, K.H. Bennemann. Phys. Rev. **B48**, 8607 (1993).
- [19] U. Pustogowa, W. Hübner, K.H. Bennemann. Surf. Sci. **307-309**, 1129 (1994).